

# О ХАРАКТЕРЕ РАСПРЕДЕЛЕНИЯ ПАРАМАГНИТНОЙ ПРИМЕСИ В КЕРАМИКАХ $\text{LaSrAl}_{1-x}\text{Cr}_x\text{O}_4$ и $\text{YCaAl}_{1-x}\text{Cr}_x\text{O}_4$

Ю. В. Яблоков, Т. А. Иванова, С. Ю. Шипунова,  
И. А. Зверева, Н. П. Бобрышева

Керамики  $\text{LaSrAlO}_4$  и  $\text{YCaAlO}_4$  принадлежат к классу слоистых перовскитов-типа  $\text{K}_2\text{NiF}_4$  (пространственная группа  $I_{4/mmm}$ ) и являются структурными аналогами ВТСП типа  $\text{A}_2\text{BO}_4$ . С целью получения информации о реальной микроструктуре такого типа материалов изучен ЭПР изоморфных твердых растворов  $\text{LaSrAl}_{1-x}\text{Cr}_x\text{O}_4$  и  $\text{YCaAl}_{1-x}\text{Cr}_x\text{O}_4$  с  $x < 0.15$ . Выбор в качестве парамагнитной метки ионов хрома обусловлен высокой чувствительностью их спектров ЭПР к изменению кристаллохимической ситуации. Керамические твердые растворы  $\text{LaSrAl}_{1-x}\text{Cr}_x\text{O}_4$  и  $\text{YCaAl}_{1-x}\text{Cr}_x\text{O}_4$  синтезированы по обычной керамической методике [1, 2]. Магнетохимические исследования данных образцов описаны там же. Спектры ЭПР измерялись в  $X$ - и  $Q$ -диапазонах при  $T = 4.2 - 293$  К.

В  $X$ -диапазоне в обеих матрицах наблюдались сигналы ЭПР сложной формы (рис. 1, 2). Для образцов с различными  $x$  относительные интенсивности сигналов  $I - III$  изменяются, их положение по полю и ширина остаются постоянными. Это показывает, что сигналы  $I - III$  принадлежат различным типам центров. В обеих матрицах интенсивность сигнала  $III$  увеличивается с ростом  $x$ . Растет также его относительная интенсивность по сравнению с сигналами  $I, II$ . Сравнение интегральных интенсивностей сигнала  $III$  в разных матрицах при равных  $x$  показывает, что LaSr-матрице число спинов, дающих вклад в этот сигнал, в  $\sim 6 - 8$  раз больше, чем в YCa-матрице (оценки проводились при  $x = 0.03$  и  $0.05$ ). Относительное содержание центров  $I$  по сравнению с центрами  $III$  в LaSr-матрице существенно меньше, а центров  $II$  — больше, чем в YCa-матрице при тех же  $x$ . При понижении температуры соотношение интенсивностей сигналов  $I - III$  для конкретного образца не меняется. Увеличение интенсивности сигналов при этом соответствует Больцмановскому распределению заселенности энергетических уровней.

Интерпретация наблюдаемых спектров проведена на основе представлений, полученных при изучении особенностей теоретической формы линии  $\text{Cr}^{3+}$  в непорядоченных твердых телах [3, 4].

Сигналы типа  $I$  принадлежат центрам  $\text{Cr}^{3+}$  ( $3d^3, S = 3/2$ ). Они описываются спин-гамильтонианом

$$\mathcal{N} = q \beta H S + D \left\{ S_z^2 - \frac{1}{3} S(S+1) \right\} + E (S_x^2 - S_y^2) \quad (1)$$

с  $q = 1.98$ ,  $D = 220$  мТл,  $E = 0$  для LaSr-матрицы и  $D = 630$  мТл,  $E = 50$  мТл, для YCa-матрицы.

На рис. 1 приведены спектр  $\text{LaSrAl}_{0.97}\text{Cr}_{0.03}\text{O}_4$  в  $X$ -диапазоне и угловые зависимости резонансных магнитных полей  $H_{\text{рез}}(\theta)$  центров типа  $I$ , рассчитанные путем диагонализации матрицы спин-гамильтониана (1) с указанными выше параметрами; здесь  $\theta$  — угол между осью  $z$  комплекса и направлением внешнего магнитного поля  $H$ . Пик  $I$  представляет собой слабополовой пик компоненты, отвечающей переходу<sup>1</sup> 3—4 при  $\theta = 90^\circ$  ( $H_{\perp}^{3-4}$ ), а пик  $I'$  — сингулярность перехода 2—3 (пик дополнительного поглощения). Переход 1—2 в спектре не на-

<sup>1</sup> Для обозначения переходов мы используем нумерацию энергетических уровней в порядке убывания энергии, поскольку собственные значения проекций электронного спина  $M$  не являются хорошей характеристикой энергетических уровней при  $D \sim q \beta H$ .

блюдается, так как его интенсивность мала: в слабополевой части спектра — из-за малой вероятности перехода, в сильнополевой — из-за сильного уширения линии ЭПР, обусловленного разбросом локальных кристаллических полей. Для центров этого типа в области  $g \sim 1.98$  зависимости  $H_{\text{рез}}(\theta)$  ни для одного перехода не имеют сингулярности и пика не дают. В  $Q$ -диапазоне переход 2—3 приводит к анизотропному сигналу с шириной  $\sim 63$  мТл, а при  $x \leq 0.015$  наблюдается также широкая линия, соответствующая  $H_{\perp}^{3-4}$  ( $H_{\text{рез}} \sim 1080$  мТл). Это согласуется с величинами параметров спин-гамильтониана, определенными из спектров  $X$ -диапазона. В спектре  $\text{YCaAl}_{0.99}\text{Cr}_{0.01}\text{O}_4$  (рис. 2) положение и

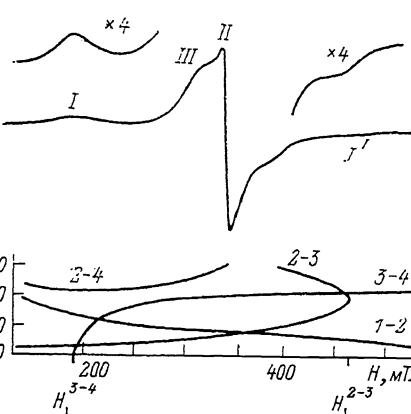


Рис. 1. Спектр ЭПР  $\text{LaSrAl}_{0.97}\text{Cr}_{0.03}\text{O}_4$  ( $\nu = 9.47$  ГГц,  $T = 293$  К) и угловые зависимости  $H_{\text{рез}}$  для центров типа I.

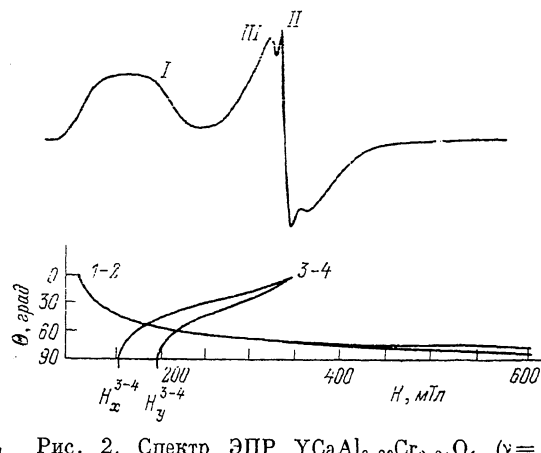


Рис. 2. Спектр ЭПР  $\text{YCaAl}_{0.99}\text{Cr}_{0.01}\text{O}_4$  ( $\nu = 9.47$  ГГц,  $T = 293$  К) и угловые зависимости  $H_{\text{рез}}$  для центров типа I.

форма сигнала I указывают на наличие ромбических искажений в спектре: на различие  $H_x^{3-4}$  и  $H_y^{3-4}$  указывает плоская вершина сигнала I при аксиальной симметрии  $g_{\text{эфф}} \leq 2g$  [3], в то время как величине  $H_x^{3-4}$  соответствует  $g_{\text{эфф}} \sim 4.5$ .

Сигналы типа II представляют собой слегка асимметричную линию с  $g_{\text{эфф}} = 1.983$ , похожую на спектр порошка с  $S=1/2$ . Ширина линии в  $X$ -диапазоне составляет  $\delta H_{\text{LaSr}} = 6$  мТл,  $\delta H_{\text{YCa}} = 9$  мТл и уменьшается до  $\delta H_{\text{LaSr}} \approx 3.2$  мТл и  $\delta H_{\text{YCa}} \approx 3.6$  мТл в  $Q$ -диапазоне (приведены данные для минимальных  $x$ , с ростом  $x$  величины  $\delta H$  увеличиваются в  $\sim 1.2 \div 1.5$  раза). Факт уменьшения  $\delta H$  с повышением частоты указывает, что данная линия не принадлежит спектру с  $S=1/2$ , а является компонентой тонкой структуры (переход 2—3) спектра  $\text{Cr}^{3+}$  с малой величиной  $D$  ( $\sim 30$  мТл). Ширина линии  $\delta H$  определяется в этом случае [4]

$$\delta H \approx 3D^2(7 + D/2H_0)/16H_0. \quad (2)$$

Сигналы типа III представляют собой одиночную линию с  $g_{\text{эфф}} \approx 1.975$ , по форме близкую к лоренцевой. Они принадлежат группам взаимодействующих между собой ионов хрома (многоядерные кластеры). Ширина сигнала III  $\Delta H$  уменьшается с повышением частоты:  $\Delta H_{\text{LaSr}} = 58$  мГл,  $\Delta H_{\text{YCa}} = 40$  мГл в  $X$ -диапазоне,  $\Delta H_{\text{LaSr}} = 19$  мГл,  $\Delta H_{\text{YCa}} = 15$  мГл в  $Q$ -диапазоне, что подтверждает ее обменную природу («эффект 10/3») [5].

Центры типа I мы относим к ионам  $\text{Cr}^{3+}$ , замещающим  $\text{Al}^{3+}$  и образующим октаэдрические комплексы  $\text{CrO}_6$  в слоистой перовскитоидобной структуре. Для позиции  $\text{Al}^{3+}$  характерно наличие аксиальной составляющей кристаллического поля [5] ( $OZ \parallel c$ ), что согласуется с достаточно большими значениями  $D$  для центров этого типа. В  $\text{YCa}$ -матрице центры  $\text{CrO}_6$  характеризуются более

сильной аксиальной компонентой кристаллического поля ( $D_{Y\text{Ca}} > D_{\text{LaSr}}$ ) и более низкой симметрией ( $E_{Y\text{Ca}} \neq 0, E_{\text{LaSr}} = 0$ ), чем в LaSr-матрице. Согласно [6, 7], расстояние Cr—O в плоскости  $ab$  в YCa-матрице меньше, чем в LaSr-матрице (для  $\text{YCaAlO}_4$   $a=3.638 \text{ \AA}$ ,  $c=11.862 \text{ \AA}$ ; для  $\text{LaSrAlO}_4$   $a=3.769 \text{ \AA}$ ,  $b=12.643 \text{ \AA}$ ). Уменьшение расстояния Me—O в плоскости  $xy$  кислородного октаэдра, как правило, приводит к более сильному его вытягиванию вдоль оси  $z$  [8]. Это феноменологическое правило подтверждается и в данном случае. Понижение симметрии центров  $\text{CrO}_6$  в YCa-матрице до ромбической отражает тенденцию комплексов  $\text{CrO}_6$  образовывать центры ромбической симметрии в этой решетке: в  $\text{YCaCrO}_4$   $a \neq b$  [9]. Сигналы  $II$  имеют, видимо, «дефектную» природу. Мы полагаем, что это центры  $\text{CrO}_6$ , расположенные вблизи кластеров. Характерно, что увеличение содержания центров  $III$  в LaSr-матрице по сравнению с YCa-матрицей коррелирует с увеличением относительного содержания центров  $II$  (при равных  $x$ ).

Наличие в спектрах сигнала от кластеров хрома свидетельствует о том, что распределение ионов  $\text{Cr}^{3+}$  отличается от среднестатистического уже при малых  $x$ . При этом соотношение интегральных интенсивностей сигналов  $II$  и отношений  $I_1/I_{III}$  показывает, что в LaSr-матрице ионы  $\text{Cr}^{3+}$  более склонны к кластеризации, чем в YCa-матрице. Этот вывод согласуется с данными [1, 2], полученными методом магнитной восприимчивости. Сужение линии при переходе от измерений в  $X$ -диапазоне к  $Q$ -диапазону позволяет оценить величину изотропного обменного взаимодействия в кластерах  $0.3 \text{ cm}^{-1} < J < 1.2 \text{ cm}^{-1}$ .

#### Список литературы

- [1] Брач Б. Я., Бобрышева Н. П., Зверева И. А., Рябков Ю. И. // Вестник ЛГУ. 1987. Сер. 4. № 1. С. 99—101.
- [2] Зверева И. А., Анашкина Н. Ф., Чежина Н. В. // Вестник ЛГУ. 1991. Сер. 4. № 1. С. 108—110.
- [3] Абдрахманов Р. С., Иванова Т. А., Шатруков Л. Ф. // Физика и химия стекла. 1977. Т. 3. № 2. С. 101—107.
- [4] Жидомиров Г. М., Лебедев Я. С., Добряков С. Н., Штейншнейдер Н. Я., Чирков А. К., Губанов В. А. Интерпретация сложных спектров ЭПР. М.: Наука, 1975. 215 с.
- [5] Абрагам А., Блини Б. Электронный парамагнитный резонанс переходных ионов. Т. 1. М.: Мир, 1972. 651 с.
- [6] Ganguli F., Rao C. N. R. // J. Solid State Chem. 1984. V. 53. P. 193—216.
- [7] Kustov E. F., Petrov V. P., Petrova D. S., Udalov J. P. // Phys. Stat. Sol. (a). 1977. V. 41. P. 379—383.
- [8] Gazo J., Boca R., Jona E., Kabesová M., Makášková L., Šima J., Pelikan P., Valach F. // Coordin. Chem. Rev. 1982. T. 43. С. 87—131.
- [9] Berjoan R., Coutures J. P. // J. Solid State Chem. 1982. V. 42. P. 75—79.

Казанский  
физико-технический институт

Поступило в Редакцию  
11 апреля 1991 г  
В окончательной редакции:  
4 сентября 1991 г.